

マンホールの調圧効果を利用した実用的な流出シミュレーション法

愛媛大学工学部 正員 渡辺 政広
 倍) 青木建設 正員 ○越智 兼夫
 愛媛県 石本 黙

1. はじめに

都市域の下水管渠網におけるサーチャージ流れ(圧力流れ)を厳密に解析できる流出モデル(ラテラル・モデル)¹⁾を提示し、その適用性について検討を進めている。取付管が多数接続する実状の下水管渠におけるサーチャージ流れの伝播速度は、通常、10~100 m/secであることを確かめているが、CFL 条件より定まる計算時間間隔 Δt は、実用上の立場からは一般にかなり小さいものとなる。本報告では、下水管渠網に多数存在しているマンホールの調圧効果に着目し、これを利用して、流出シミュレーションの実用性を向上させる手法について検討した。

2. ラテラル・モデル¹⁾

取付管が接続する下水管渠のサーチャージ流れの基礎式(無次元)は、次式のように表わされる。

$$\frac{\partial V_*}{\partial t_*} + V_* \cdot \frac{\partial V_*}{\partial x_*} + \frac{\partial h_*}{\partial x_*} - \alpha_1 \left(1 - \frac{|V_*|V_*}{\alpha_2^2} \right) = 0 \quad \cdots (1), \quad \frac{\partial h_*}{\partial t_*} + c_*^2 \cdot \frac{\partial V_*}{\partial x_*} = 0 \quad \cdots (2)$$

$$\begin{cases} \alpha_1 = LS_0/D, \alpha_2 = V_{full}/\sqrt{gD}, V_* = V/\sqrt{gD}, h_* = h/D, \\ R_* = R/(D/4) = 1, x_* = x/L, t_* = t/(L/\sqrt{gD}), c'_* = c'/\sqrt{gD}, \end{cases} \quad c' = \sqrt{g \frac{L}{N} (\sin \theta) \frac{A_p}{A_1}} \quad \cdots (3)$$

ここに、V: 断面平均流速、h: 管渠底から測った圧力水頭、R: 径深、c': 微小擾乱の伝播速度、L: D、S₀、A_p: 下水管渠の長さ、直径、勾配、断面積、A₁、N、θ: 取付管の断面積、L: 当たりの接続本数、傾斜角度、α₁: 管渠勾配の無次元量、α₂: 水深直径比 h/D がおよそ 0.85 のときの開水路流れの伝播速度 \sqrt{gD} に対する満管等流流速 V_{full} の比を表す無次元量、g: 重力加速度、x: 距離、t: 時間。

また、マンホールにおける連続の式(無次元)は、次のように表わされる。

$$\frac{dh_*}{dt_*} = \sum (Q_{in})_* - \sum (Q_{out})_* \quad \cdots (4); \quad \begin{cases} F_* = F_{M*} \quad (h_* < h_{G*} のとき), \\ F_* = F_{G*} \quad (h_* > h_{G*} のとき), \end{cases} \quad \begin{cases} F_{M*} = F_M/(DL), \\ F_{G*} = F_G/(DL), \quad h_{G*} = h_G/D, \quad Q_* = Q/(\sqrt{g \cdot D^5})^{1/2} \end{cases}$$

ここに、F_M: マンホール面積、F_G: マンホールを含む地表面はんらん域面積、h_G: マンホール深、Q: 流量、 $\sum (Q_{in})$ 、 $\sum (Q_{out})$: 流入および流出流量の合計。

3. 下水管渠網におけるサーチャージ流れの伝播特性

(1) サーチャージ流れの伝播特性

マンホールを、多数(数10~数100 本)の取付管の集合体と考える。このとき、取付管の集合体としての上流端マンホールをも含めた下水管渠(長さ L)におけるサーチャージ流れの伝播速度 $c''_* = c''/\sqrt{gD}$ は、次式のように表わされる。

$$c'' = \sqrt{g \frac{L \cdot A_p}{F_M + N (A_1 / \sin \theta)}} = \frac{c' \cdot c'_M}{\sqrt{c'^2 + c'_M^2}} \quad \cdots (5); \quad \begin{cases} c'_M = c'/\sqrt{gD}, \\ c'_M = \sqrt{gL A_p / F_M} \end{cases} \quad \cdots (6)$$

上式中の c'_M は、1 下水管渠長 L にわたってマンホール面積に等しい総面積 F_M の取付管が均等に配置されているとするときのサーチャージ流れの伝播速度である。ここで、下水管渠網におけるサーチャージ流れの伝播特性に寄与するマンホールおよび取付管の調圧効果の寄与率 P_{c'} および P_{c'_M} は、それぞれ次のように表わされる。

$$P c' = \frac{(c''_* / c'_*)^2}{(c''_* / c'_*)^2 + (c''_* / c'_M)^2} \quad \cdots (7), \quad P c'_M = \frac{(c''_* / c'_M)^2}{(c''_* / c'_*)^2 + (c''_* / c'_M)^2} \quad \cdots (8)$$

松山市公共下水道網のマンホール、下水管渠、取付管を調査した結果をもとに、P_{c'} および P_{c'_M} を

算定した結果を、図 1 に示す。これより、下水管渠網におけるサーチャージ流れの伝播特性は、ほとんどマンホールの調圧効果によって規定されていること、すなわち取付管のそれの寄与率は数～10数%程度までに過ぎないことがわかる。

(2) マンホールと取付管との相互関係

取付管の集合体であるマンホールからその面積の一部を取り出し、これが下水管渠の取付管として付け替えられるとすると、下水管渠網におけるサーチャージ流れの伝播速度 c^* を変化させることなく、下水管渠の c^* 値を小さくすること、したがって計算時間間隔 Δt^* を大きく採ることができ、流出シミュレーションの実用性を向上させることができる。今、マンホールの面積 F_M の一部 ΔF_M を下水管渠の取付管として付け替えるときの c^* を $(c^*)'$ と表わすとき、 $(c^*)'$ は次式および図 2 のように与えられる。

$$(c^*)' = c^* \cdot \sqrt{\frac{1}{1 + (c^*/c_{M*})^2 \cdot (\Delta F_M/F_M)}} \quad \dots (9)$$

これより、たとえば $\Delta F_M/F_M=0.5$ とするとき、 $(c^*)' \approx (0.25 \sim 0.50) \times c^*$ となり、こうしたマンホールの取付管への付け替えによって計算時間間隔 Δt^* を 2～4 倍程度も大きく採れることになる。

4. 数値実験

上述した手法の適用性について、数値的に検討した。これらの中、適合度が最も低下し易いケースの例（小規模の管渠システムで、 $\Delta F_M/F_M=1.0$ のとき）を図 3 に示す。ここに、下水管渠システムは、松山市公共下水道網においてみられる標準的な無次元パラメータ ($\alpha_1=0.9$ 、 $\alpha_2=0.5$ 、 $c^*=8$ 、 $c_{M*}=4$ 、 $F_{M*}=0.08$ 、 $F_{G*}=40$ 、 $L/\sqrt{gD}=20$ 、 $h_{G*}=6$ 、下水管渠およびマンホール数：各 10 組）をもつプリズマチックなものを、また出水は、上流端より sine 型（無次元ベース流量、ピーク流量、周期：0.41、0.49、45）の洪水流入があり、下流端で sine 型（無次元ベース水位、ピーク水位、周期：1.1、5.9、15）の水位調整運動が行なわれ、地表面はんらんの発生するものを想定している。

これらより、実用上最も重要な

る地表面はんらん解析結果の誤差も数%以内に納まり、本手法の有用性が確かめられた。

- 1) 渡辺・竹内・川裾：取付管の調圧効果を考慮した下水管渠網の雨水流出モデル、第33回水講論文集、pp. 157～162、1989.

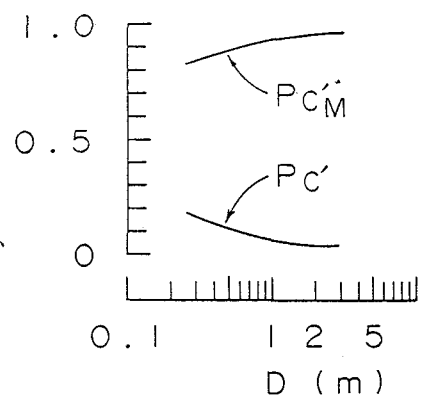


図 1 寄与率

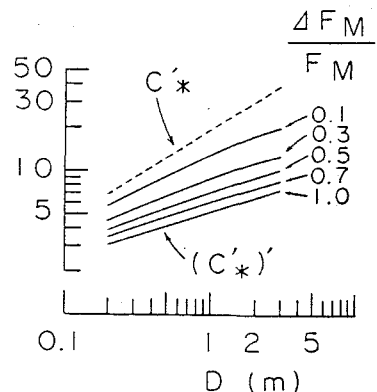


図 2 マンホール面積の付け替え

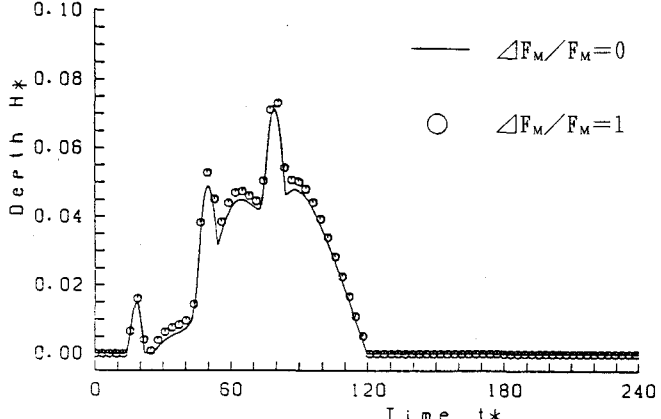


図 3 地表面はんらん水深（システム全体）